

УДК 532.783 : 548.14

ИССЛЕДОВАНИЕ ПОРЯДКА В ТВЕРДЫХ РАСТВОРАХ $Y_xLu_{3-x}Al_5O_{12}$ МЕТОДАМИ ЯМР

П. Ю. Ефиценко, В. С. Касперович, А. А. Кулешов, Е. В. Чарная

Исследованы концентрационные зависимости величин квадрупольного расщепления и ширин линий ЯМР Al^{27} в смешанных гранатах $Y_xLu_{3-x}Al_5O_{12}$ при $x=3, 2.8, 2.4, 2.25, 2.0, 1.0, 0$. По сужению линии ЯМР установлено частичное упорядочение твердого раствора с $x=2.25$, что коррелирует с результатами измерений концентрационных зависимостей времени фононной релаксации в алюмоиттрий-лютециевых гранатах.

Разупорядоченность кристаллических твердых растворов или тенденция к упорядочению при определенном соотношении компонент твердого раствора должна сказываться на форме линии ЯМР ядер решетки, приводя для неупорядоченного твердого раствора к ее уширению по сравнению с монокомпонентными или упорядоченными смешанными кристаллами [1]. Причиной такого уширения являются отклонения локальной концентрации компонент x' от средней по объему величины x , входящей в химическую формулу смешанного кристалла. Пространственные флуктуации концентрации сопровождаются флуктуациями межатомных расстояний, что в сумме вызывает дополнительный разброс локальных магнитных и электрических полей на исследуемых ядрах, определяющий ширину линии ЯМР [2]. Таким образом, анализ концентрационных зависимостей формы линии ЯМР позволяет судить о степени упорядочения смешанных кристаллов.

В настоящей работе приведены результаты исследований ЯМР Al^{27} в твердых растворах $Y_xLu_{3-x}Al_5O_{12}$, широко используемых в современном приборостроении, при $x=3, 2.8, 2.4, 2.25, 2.0, 1.0, 0$. Основные измерения производились на стационарном спектрометре ЯМР РЯ-2301 при комнатной температуре. Отдельные данные получены на импульсном спектрометре MSL-300 фирмы Bruker.

Известно, что в гранатах со структурой $R_3Al_5O_{12}$ (R — редкоземельный ион), обладающих точечной симметрией O_h , атомы Al расположены в октаэдрической (a -положения) и тетраэдрической (d -положения) позициях относительно атомов кислорода. Кислородные октаэдры и тетраэдры искажены таким образом, что кристаллическое поле в месте расположения Al имеет аксиальную симметрию с осями симметрии, направленными вдоль кубических осей (d -положения) и вдоль пространственных диагоналей куба элементарной ячейки (a -положения) [3]. В соответствии со структурой спектр ЯМР ядер Al^{27} , спин I которых равен $5/2$, в гранатах должен состоять в общем случае из 15 линий для d -положения и 20 линий для a -положения, отвечающих переходам $\pm 5/2 \leftrightarrow \pm 3/2$, $\pm 3/2 \leftrightarrow \pm 1/2$ и $\pm 1/2 \leftrightarrow -1/2$ и расщепленных за счет квадрупольных сдвигов 1-го и 2-го порядков (т. е. пропорциональных e^2qQ и $(e^2qQ)^2$).

$$\nu_{\pm \frac{5}{2}, \pm \frac{3}{2}} = \nu_0 \pm (3 \cos^2 \theta - 1) \frac{3e^2qQ}{20} + \frac{1}{4\nu_0} \sin^2 \theta (33 \cos^2 \theta - 1) \left(\frac{3e^2qQ}{20} \right)^2,$$

$$\nu_{\pm \frac{3}{2}, \pm \frac{1}{2}} = \nu_0 \pm \frac{1}{2} (3 \cos^2 \theta - 1) \frac{3e^2qQ}{20} + \frac{1}{16\nu_0} \sin^2 \theta (5 - 21 \cos^2 \theta) \left(\frac{3e^2qQ}{20} \right)^2,$$

$$\nu_{\frac{1}{2}}, -\frac{1}{2} = \nu_0 + \frac{1}{2\nu_0} \sin^2 \theta (1 - 9 \cos^2 \theta) \left(\frac{3e^2 q Q}{20} \right)^2,$$

где Q — квадрупольный момент ядра, e — заряд электрона, eq — компонента V_{zz} тензора градиентов электрического поля, ν_0 — ларморовская частота, θ — угол между осью симметрии кристаллического поля на ядре и внешним магнитным полем H_0 .

Спектры ЯМР Al^{27} в чистом алюмоиттриевом гранате исследовались в работе [4], в которой определены параметры кристаллического поля для двух неэквивалентных позиций алюминия $e^2qQ(a)$ и $e^2qQ(d)$. ЯМР в алюмолютиевом гранате и в смешанных кристаллах до настоящего времени не исследовался.

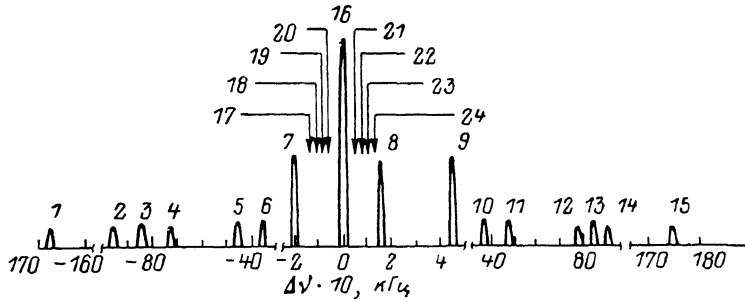


Рис. 1. Вид спектра ЯМР Al^{27} в кристалле $\text{Lu}_3\text{Al}_5\text{O}_{12}$.

Индексы 1—15 и 16—24 относятся к $d_{\pm m}^0$ - и $d_{\mp m}^0$ -компонентам линии ЯМР; θ — углы между главными осями тензора градиентов электрического поля и H_0 ; $\pm m$ соответствуют переходам $\pm m \leftrightarrow \pm(m-1)$. 1 — $d_{5/2}^{55^\circ}$; 2 — $d_{5/2}^{90^\circ}$; 3 — $d_{5/2}^{150^\circ}$; 4 — $d_{5/2}^{75^\circ}$; 5 — $d_{5/2}^{90^\circ}$; 6 — $d_{5/2}^{75^\circ}$; 7 — $d_{5/2}^{150^\circ}$; 8 — $d_{5/2}^{75^\circ}$; 9 — $d_{5/2}^{90^\circ}$; 10 — $d_{3/2}^{75^\circ}$; 11 — $d_{3/2}^{90^\circ}$; 12 — $d_{3/2}^{75^\circ}$; 13 — $d_{3/2}^{150^\circ}$; 14 — $d_{3/2}^{90^\circ}$; 15 — $d_{3/2}^{150^\circ}$; 16 — центральные компоненты, соответствующие a -позиции Al; 17 — $d_{5/2}^{53.30^\circ}$; 18 — $d_{5/2}^{65.90^\circ}$; 19 — $d_{5/2}^{53.30^\circ}$; 20 — $d_{5/2}^{65.90^\circ}$; 21 — $d_{5/2}^{65.90^\circ}$; 22 — $d_{5/2}^{53.30^\circ}$; 23 — $d_{5/2}^{65.90^\circ}$; 24 — $d_{5/2}^{53.30^\circ}$.

Согласно нашим измерениям, спектр ЯМР Al^{27} в кристаллах $\text{Y}_x\text{Lu}_{3-x}\text{Al}_5\text{O}_{12}$ подобен спектру в алюмоиттриевых гранатах и некоторых родственных ему по структуре гранатах [4, 5], что соответствует сохранению в этих твердых растворах структуры гранатов «в среднем». Однако линии ЯМР в большинстве смешанных кристаллов значительно уширены по сравнению с $\text{Y}_3\text{Al}_5\text{O}_{12}$ и $\text{Lu}_3\text{Al}_5\text{O}_{12}$. По угловой зависимости спектров ЯМР нами были рассчитаны значения $e^2qQ(d)$ для всех исследованных образцов и $e^2qQ(a)$ для чистых иттриевого и лютиевого гранатов. Причем для d -положений из-за уширения сателлитных линий (отвечающих переходам $\pm 5/2 \leftrightarrow \pm 3/2$ и $\pm 3/2 \leftrightarrow \pm 1/2$) в смешанных кристаллах $e^2qQ(d)$ для повышения точности определялись по сдвигу 2-го порядка центральных компонент спектра ЯМР (переход $+1/2 \leftrightarrow -1/2$), уширенных только за счет квадрупольных эффектов 2-го порядка. Величины $e^2qQ(a)$ измерялись по сдвигу 1-го порядка. В смешанных гранатах из-за уширения a -сателлитов можно было только оценить значения $e^2qQ(a)$, которые, как и в чистых гранатах, на порядок слабее $e^2qQ(d)$.

x	$e^2qQ(d)$, МГц	$e^2qQ(a)$, МГц	Δ , кГц
0	6.40 ± 0.03	1.15 ± 0.03	3.25 ± 0.15
1	6.28 ± 0.05		5.4 ± 0.2
2	5.90 ± 0.05		5.5 ± 0.4
2.25	5.80 ± 0.04		2.9 ± 0.2
2.4	5.97 ± 0.03		4.4 ± 0.2
2.8	6.09 ± 0.03		3.2 ± 0.2
3	6.04 ± 0.03	0.62 ± 0.03	2.60 ± 0.15

Полученные результаты сведены в таблицу. Отметим, что данные для e^2qQ в иттриевом гранате в пределах погрешности совпадают с данными [4]. В таблице приведены также значения ширин трех центральных компонент d -линий при ориентации образцов во внешнем магнитном поле, когда кристаллографическая ось [100] была перпендикулярна H_0 ($\theta=90^\circ$), а оси [010] и [001] составляли с H_0 углы соответственно $\theta=15$ и 75° .

На рис. 1 в качестве примера изображен вид спектра ЯМР Al^{27} в кристалле $\text{Lu}_3\text{Al}_5\text{O}_{12}$ для этой ориентации в поле $H_0=0.957$ Тл: d -линии, отвечающие центральному переходу, расщеплены; центральная же линия для a -положения только незначительно уширена из-за сдвига второго порядка (сателлиты для a -положения указаны стрелками, так как в данном масштабе они не видны).

Мы не привели в таблице данные по ширинам a -линий ЯМР и d -сателлитов, поскольку на форме центральной a -компоненты может оказаться сдвиг 2-го порядка, а интенсивность сателлитов очень мала, что не позволило надежно измерить ширину. Отметим, однако, что концентрационная зависимость ширины центральной a -линии в целом повторяла концентрационную зависимость ширины центральных d -компонент.

Ширина d -са-

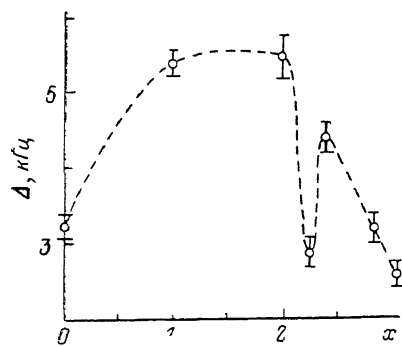


Рис. 2. Зависимость ширины Δ центральных компонент d -линий ЯМР Al^{27} от концентрации иттрия x .

теллитов в большинстве смешанных кристаллов составляла величину порядка 100 кГц (тогда как в чистых гранатах ~ 10 кГц), а ширина a -сателлитов — величину порядка 10 кГц. Ориентационная зависимость ширины линий ЯМР незначительна.

На рис. 2 для наглядности показана зависимость от x приведенной в таблице ширины Δ центральных компонент d -линий. Как следует из таблицы и рис. 2, на концентрационной зависимости Δ имеется узкий минимум при $x=2.25$. Значение Δ в минимуме близко к Δ для монокомпонентных гранатов $\text{Y}_3\text{Al}_5\text{O}_{12}$ и $\text{Lu}_3\text{Al}_5\text{O}_{12}$, тогда как при $x=2.4$ и 2.0 Δ приблизительно в два раза больше. Максимальной величины Δ достигает при $x=2.0$ и 1.0 . Полагая, что уширение линий ЯМР в смешанных кристаллах обусловлено их разупорядоченностью, можно сделать вывод, что пространственные флюктуации параметра x в $\text{Y}_x\text{Lu}_{3-x}\text{Al}_5\text{O}_{12}$ максимальны вблизи $x/3 \approx 1/2$, как и должно быть для неупорядоченных твердых растворов. Минимум Δ для $x=2.25$ ($x/3=3/4$) соответствует упорядочению кристалла $\text{Y}_{2.25}\text{Lu}_{0.75}\text{Al}_5\text{O}_{12}$, т. е. особой точке на диаграмме состояний, с образованием кубической сверхрешетки [6]. Однако это упорядочение носит, по-видимому, частичный характер, так как сателлиты в кристалле $\text{Y}_{2.25}\text{Lu}_{0.75}\text{Al}_5\text{O}_{12}$ уширены сильнее (до 40 кГц), чем в монокомпонентных гранатах, хотя и значительно слабее, чем в других смешанных кристаллах.

Следует отметить, что возникновение на фоне отсутствия дальнего порядка некоторых элементов ближнего порядка (кластеризации) может за счет квадрупольных сдвигов приводить к дополнительному уширению линии ЯМР, вплоть до ее расщепления при высокой степени кластеризации. Пространственные флюктуации концентрации могут также служить дополнительными центрами рассеяния высокочастотных акустических фононов и вследствие этого вызывать ускорение фононной релаксации и уменьшение ахиэзеровского поглощения ультразвука в смешанных кристаллах. В таком случае при $x=2.25$ для частично упорядоченного твердого раствора должен иметься максимум на концентрационных за-

висимостях времени фононной релаксации и коэффициента ахиезеровского поглощения, что и наблюдалось в работе [7].

Таким образом, в настоящей работе впервые метод ЯМР применен для установления упорядоченности смешанных кристаллов и показано, что ЯМР может служить для исследования степени порядка в смешанных кристаллах, дополняя распространенные методы структурного анализа. Отметим, что в электронном парамагнитном резонансе эффекты сужения резонансной линии при упорядочении наблюдались в [8].

В заключение авторы выражают благодарность С. Н. Иванову, Е. Н. Хазанову и В. В. Медведю за стимулирование работы и предоставление кристаллов и В. А. Ацаркину за обсуждение полученных результатов.

Список литературы

- [1] Микушев В. М., Чарная Е. В., Шутилов В. А., Гранде З. // Ядерный магнитный резонанс. Л.: Изд-во ЛГУ, 1988. С. 73—76.
- [2] Абрагам А. Ядерный магнетизм. М.: ИЛ, 1963. 551 с.
- [3] Menzger G. // Z. fur Kristallografie. 1928. V. 69. N 2. P. 300—396.
- [4] Brog K. C., Jones W. H., Verber C. M. // Phys. Lett. 1966. V. 20. N 3. P. 258—260.
- [5] V. H. Schmidt, E. D. Jones // Phys. Rev. B. 1970. V. 1. N 5. P. 1978—1986.
- [6] Китайгородский А. И. Смешанные кристаллы. М.: Наука, 1983. 277 с.
- [7] Иванов С. Н., Хазанов Е. Н., Таранов А. В. // Письма в ЖЭТФ. 1984. Т. 40. № 1. С. 20—22.
- [8] Ацаркин В. А. // ЖЭТФ. 1962. Т. 43. № 3 (9). С. 839—840.

Ленинградский государственный университет
Ленинград

Поступило в Редакцию
11 апреля 1989 г.